

CEN 432

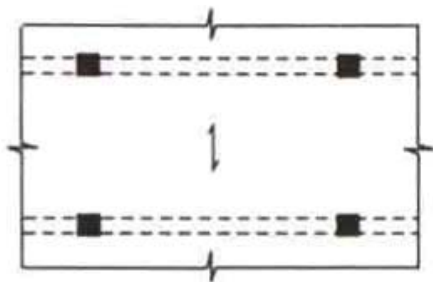
การออกแบบคอนกรีตอัดแรง

บทที่ 10 การออกแบบพื้นคอนกรีตอัดแรงชนิดตั้งเหล็กที่หลัง

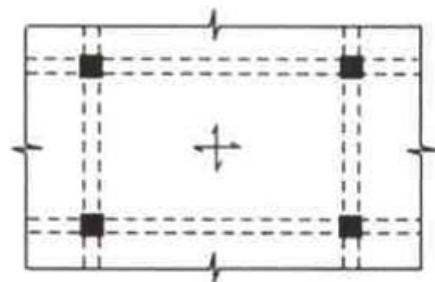


มหาวิทยาลัยสุรินทร์ <http://www.rsu.ac.th>
52/347 หมู่บ้านเมืองเอก ถนนพหลโยธิน หลักหก ปทุมธานี 12000

ระบบพื้นชนิดต่าง ๆ



(ก) พื้นทางเดียว



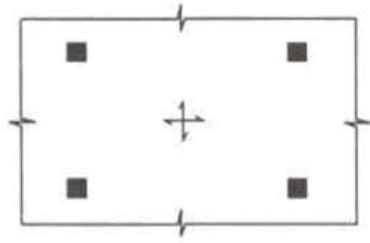
(ข) พื้นสองทางมีที่รองรับที่ปลาย



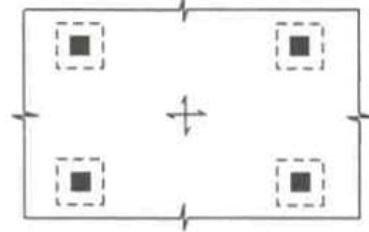
มหาวิทยาลัยสุรินทร์ <http://www.rsu.ac.th>
52/347 หมู่บ้านเมืองเอก ถนนพหลโยธิน หลักหก ปทุมธานี 12000



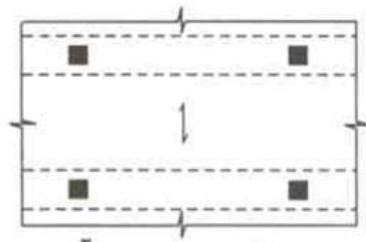
ระบบพื้นชนิดต่างๆ



(ค) พื้นไร้คานท้องเรียบ



(ง) พื้นไร้คานแบบมีแป้นหัวเสา



(จ) พื้นระบบคานกว้าง



10.1 หลักการของการพยุ่ง



$$w_b = \frac{8Py_s}{L^2} \quad (10.1)$$

- | | | | |
|--------|-------|-----|-------------------------------|
| โดยที่ | P | คือ | แรงดึงในเหล็กเสริมอัดแรง |
| | y_s | คือ | ระยะตกท้องข้างของโค้งพาราโบลา |
| | L | คือ | ความยาวช่วงของแผ่นพื้น |



10.2 ค่าประมาณของความหนาของแผ่นพื้นคอนกรีตอัด แรงชนิดดิ่งเหล็กที่หลัง



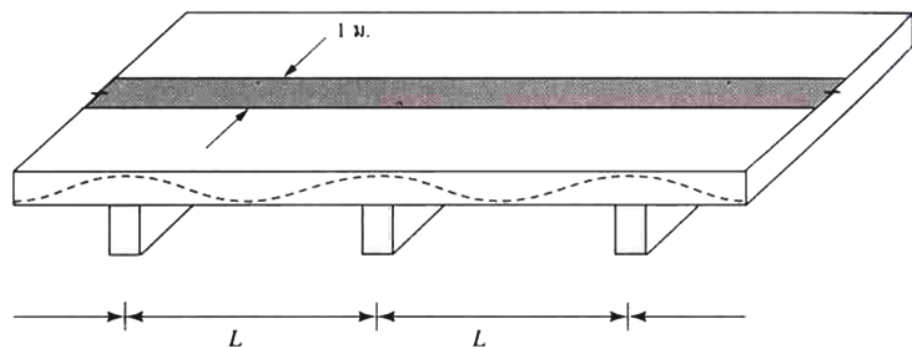
| ชนิดของพื้น | ความยาวช่วงต่อความลึกของพื้น |
|------------------------------|------------------------------|
| พื้นทางเดียว | 48 |
| พื้นสองทางมีที่รองรับที่ปลาย | 55 |
| พื้นไร้คานท้องเรียบ | 45 |
| พื้นไร้คานแบบมีแป้นหัวเสา | 50 |
| ความหนาของคานกว้าง | 30 |



มหาวิทยาลัยราชภัฏสุรินทร์ <http://www.rsu.ac.th>
52/347 หมู่บ้านเมืองเอก ถนนพหลโยธิน หลักหก ปทุมธานี 12000



พื้นทางเดียว



มหาวิทยาลัยราชภัฏสุรินทร์ <http://www.rsu.ac.th>
52/347 หมู่บ้านเมืองเอก ถนนพหลโยธิน หลักหก ปทุมธานี 12000



พื้นทางเดียว



ปริมาณเหล็กเสริมอัดแรงที่คำนวณได้เป็นปริมาณเหล็กเสริมอัดแรงต่อความกว้างแผ่นพื้น 1 เมตร ซึ่งโดยปกติอาจคิดเป็นระยะห่างของการวางเหล็ก (spacing) โดยระยะห่างนี้มาตรฐาน ACI กำหนดไว้ว่าจะต้องไม่เกิน 8 เท่าของความหนาพื้นและไม่เกิน 1.50 เมตร นอกจากนี้มาตรฐาน ACI ยังกำหนดหน่วยแรงอัดเฉลี่ยในพื้นที่เนื่องจากแรงอัดประสิทธิผล P_e/A_c ต้องมีค่าไม่น้อยกว่า 8.8 กก./ซม.²

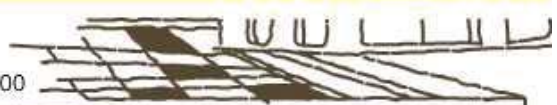


10.4 พื้นสองทางมีที่รองรับที่ปลาย

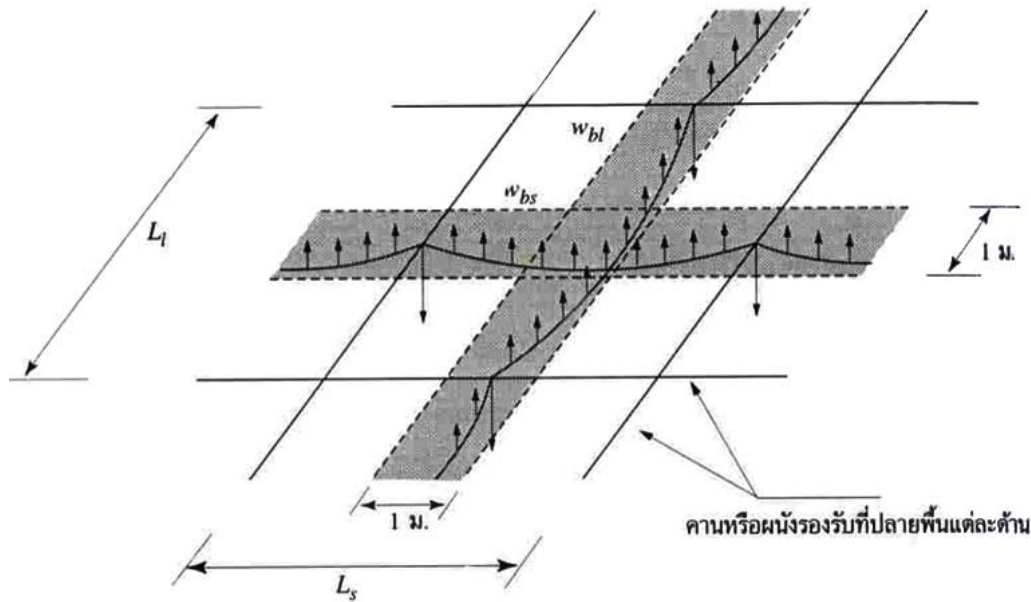


แผ่นพื้นซึ่งเสริมเหล็กด้านทานการยึดหดตัวด้วยเหล็กกลม เกรด SR 24 ใช้ 0.0025
แผ่นพื้นซึ่งเสริมเหล็กด้านทานการยึดหดตัวด้วยเหล็กข้ออ้อย เกรด SD 30 ใช้ 0.0020
แผ่นพื้นซึ่งเสริมเหล็กด้านทานการยึดหดตัวด้วยเหล็กข้ออ้อย เกรด SD 40 ใช้ 0.0018 } (10.2)

เหล็กเสริมด้านทานการยึดหดตัวนี้ ต้องวางเหล็กให้มีระยะห่างไม่เกิน 3 เท่าของความหนาของแผ่นพื้นและไม่เกิน 30 ซม. ในบางกรณีอาจใช้เหล็กเสริมอัดแรงในทิศทางนี้แทนการวางเหล็กเสริมธรรมดาไม่อัดแรงได้ โดยอัดแรงในทิศทางนี้ให้คอนกรีตมีหน่วยแรงอัดไม่น้อยกว่า 7 กก./ซม.²



พื้นสองทางมีที่รองรับที่ปลาย



มหาวิทยาลัยราชภัฏสกลนคร <http://www.rsu.ac.th>
52/347 หมู่บ้านเมืองเอก ถนนพหลโยธิน หลักหก ปทุมธานี 12000



พื้นสองทางมีที่รองรับที่ปลาย



$$w_{bs} = \frac{8P_s y_{ss}}{L_s^2} \quad \text{และ} \quad w_{bl} = \frac{8P_l y_{sl}}{L_l^2} \quad (10.3)$$

โดยที่ P_s และ P_l คือ ปริมาณแรงอัดของเหล็กเสริมอัดแรงต่อความกว้างของพื้น 1 เมตร ในทิศทางสั้นและยาวตามลำดับ

y_{ss} และ y_{sl} คือ ระยะดกทองข้างของแนวพาราโบลาในทิศทางสั้นและยาวตามลำดับ

L_s และ L_l คือ ความยาวช่วงของแผ่นพื้นในทิศทางสั้นและยาวตามลำดับ



มหาวิทยาลัยราชภัฏสกลนคร <http://www.rsu.ac.th>
52/347 หมู่บ้านเมืองเอก ถนนพหลโยธิน หลักหก ปทุมธานี 12000



พื้นสองทางมีที่รองรับที่ปลาย



แรงพยุกรวม w_b ซึ่งเป็นแรงพยุงต่อพื้นที่ 1 ตารางเมตร หาได้จากผลรวมของ w_{bs} และ w_{bl} คือ

$$w_b = w_{bs} + w_{bl} \quad (10.4)$$



พื้นสองทางมีที่รองรับที่ปลาย



ในทิศทางสั้น $\sigma_{cs} = \frac{P_s}{h} \pm \frac{M_s c}{I} \quad (10.5)$

ในทิศทางยาว $\sigma_{cl} = \frac{P_l}{h} \pm \frac{M_l c}{I} \quad (10.6)$

โดยที่ σ_{cs}, σ_{cl} คือ หน่วยแรงที่ผิวคอนกรีตในทิศทางสั้นและยาวตามลำดับ

M_s, M_l คือ โมเมนต์ที่เกิดจากผลต่างของน้ำหนักบรรทุกและแรงพยุงของเหล็กเสริมอัดแรงในทิศทางสั้นและยาว ตามลำดับ



10.4.1 การคำนวณหาโมเมนต์ในแผ่นพื้นที่โดยวิธีการใช้สัมประสิทธิ์



การคำนวณหาค่า M_s และ M_l สามารถใช้วิธีของสัมประสิทธิ์ที่กำหนดไว้ในมาตรฐานอาคารคอนกรีตเสริมเหล็กของ ว.ส.ท. ปี 2534 ซึ่งมีอยู่ 3 วิธี แต่ในที่นี้จะเลือกใช้วิธีที่ 3 ซึ่งเป็นวิธีที่เหมาะสมที่สุดโดยค่าโมเมนต์สามารถหาได้จาก

$$M_s = CwL_s^2$$

$$M_l = CwL_l^2$$



มหาวิทยาลัยราชภัฏสุรินทร์ <http://www.rsu.ac.th>

52/347 หมู่บ้านเมืองเอก ถนนพหลโยธิน หลักหก ปทุมธานี 12000



ตารางที่ 10.2 สัมประสิทธิ์สำหรับโมเมนต์ลบในแผ่นพื้น



$$M_{s,neg} = C_{s,neg} \times w \times L_s^2$$

w = น้ำหนักกระจายของน้ำหนัก

$$M_{l,neg} = C_{l,neg} \times w \times L_l^2$$

คงที่บวกกับน้ำหนักจร

| อัตราส่วน $m = \frac{L_s}{L_l}$ | กรณีที่ 1 | กรณีที่ 2 | กรณีที่ 3 | กรณีที่ 4 | กรณีที่ 5 | กรณีที่ 6 | กรณีที่ 7 | กรณีที่ 8 | กรณีที่ 9 |
|------------------------------------|----------------------------|----------------|----------------|----------------|----------------|----------------|----------------|----------------|----------------|
| 1.00 | $C_{s,neg}$ $C_{l,neg}$ | 0.045 0.045 | 0.076 0.076 | 0.050 0.050 | 0.075 0.075 | 0.071 0.071 | 0.071 0.071 | 0.033 0.061 | 0.061 0.033 |
| 0.95 | $C_{s,neg}$ $C_{l,neg}$ | 0.050 0.041 | 0.072 0.072 | 0.055 0.045 | 0.079 0.079 | 0.075 0.075 | 0.067 0.067 | 0.038 0.056 | 0.065 0.029 |
| 0.90 | $C_{s,neg}$ $C_{l,neg}$ | 0.055 0.037 | 0.070 0.070 | 0.060 0.040 | 0.080 0.080 | 0.079 0.079 | 0.062 0.062 | 0.043 0.052 | 0.068 0.025 |
| 0.85 | $C_{s,neg}$ $C_{l,neg}$ | 0.060 0.031 | 0.065 0.065 | 0.066 0.034 | 0.082 0.082 | 0.083 0.083 | 0.057 0.057 | 0.049 0.046 | 0.072 0.021 |



มหาวิทยาลัยราชภัฏสุรินทร์ <http://www.rsu.ac.th>

52/347 หมู่บ้านเมืองเอก ถนนพหลโยธิน หลักหก ปทุมธานี 12000



ตารางที่ 10.2 สัมประสิทธิ์สำหรับโมเมนต์ลบในแผ่นพื้น



| อัตราส่วน $m = \frac{L_2}{L_1}$ | กรณีที่ 1 | กรณีที่ 2 | กรณีที่ 3 | กรณีที่ 4 | กรณีที่ 5 | กรณีที่ 6 | กรณีที่ 7 | กรณีที่ 8 | กรณีที่ 9 |
|------------------------------------|----------------------------|----------------|----------------|----------------|----------------|----------------|----------------|----------------|---------------|
| 0.80 | $C_{s,neg}$ $C_{l,neg}$ | 0.065 0.027 | 0.061 0.029 | 0.071 0.029 | 0.083 0.086 | 0.086 0.051 | 0.055 0.041 | 0.075 0.017 | |
| 0.75 | $C_{s,neg}$ $C_{l,neg}$ | 0.069 0.022 | 0.056 0.024 | 0.076 0.024 | 0.085 0.088 | 0.088 0.044 | 0.061 0.036 | 0.078 0.014 | |
| 0.70 | $C_{s,neg}$ $C_{l,neg}$ | 0.074 0.017 | 0.050 0.019 | 0.081 0.019 | 0.086 0.091 | 0.091 0.038 | 0.068 0.029 | 0.081 0.011 | |
| 0.65 | $C_{s,neg}$ $C_{l,neg}$ | 0.077 0.014 | 0.043 0.015 | 0.085 0.015 | 0.087 0.093 | 0.093 0.031 | 0.074 0.024 | 0.083 0.008 | |
| 0.60 | $C_{s,neg}$ $C_{l,neg}$ | 0.081 0.010 | 0.035 0.011 | 0.089 0.011 | 0.088 0.095 | 0.095 0.024 | 0.080 0.018 | 0.085 0.006 | |
| 0.55 | $C_{s,neg}$ $C_{l,neg}$ | 0.084 0.007 | 0.028 0.008 | 0.092 0.008 | 0.089 0.096 | 0.096 0.019 | 0.085 0.014 | 0.086 0.005 | |
| 0.50 | $C_{s,neg}$ $C_{l,neg}$ | 0.086 0.006 | 0.022 0.006 | 0.094 0.006 | 0.090 0.097 | 0.097 0.014 | 0.089 0.010 | 0.088 0.003 | |



มหาวิทยาลัยสุรินทร์ <http://www.rsu.ac.th>

52/347 หมู่บ้านเมืองเอก ถนนพหลโยธิน หลักหก ปทุมธานี 12000



ตารางที่ 10.3 สัมประสิทธิ์สำหรับโมเมนต์บวกในแผ่นพื้นทีคิดเฉพาะน้ำหนักบรรทุกคงที่เท่านั้น*



$$M_{s,pos,dl} = C_{s,dl} \times w \times L_s^2$$

$$w = \text{น้ำหนักคงที่ที่แผ่กระจายทั้งหมด}$$

$$M_{l,pos,dl} = C_{l,dl} \times w \times L_l^2$$

| อัตราส่วน $m = \frac{L_s}{L_l}$ | กรณีที่ 1 | กรณีที่ 2 | กรณีที่ 3 | กรณีที่ 4 | กรณีที่ 5 | กรณีที่ 6 | กรณีที่ 7 | กรณีที่ 8 | กรณีที่ 9 | |
|------------------------------------|--------------------------|----------------|----------------|----------------|----------------|----------------|----------------|----------------|----------------|----------------|
| 1.00 | $C_{s,dl}$ $C_{l,dl}$ | 0.036 0.036 | 0.018 0.018 | 0.018 0.027 | 0.027 0.027 | 0.027 0.018 | 0.033 0.027 | 0.027 0.033 | 0.020 0.023 | 0.023 0.020 |
| 0.95 | $C_{s,dl}$ $C_{l,dl}$ | 0.040 0.033 | 0.020 0.016 | 0.021 0.025 | 0.030 0.024 | 0.028 0.015 | 0.036 0.024 | 0.031 0.031 | 0.022 0.021 | 0.024 0.017 |
| 0.90 | $C_{s,dl}$ $C_{l,dl}$ | 0.045 0.029 | 0.022 0.014 | 0.025 0.024 | 0.033 0.022 | 0.029 0.013 | 0.039 0.021 | 0.035 0.028 | 0.025 0.019 | 0.026 0.015 |
| 0.85 | $C_{s,dl}$ $C_{l,dl}$ | 0.050 0.026 | 0.024 0.012 | 0.029 0.022 | 0.036 0.019 | 0.031 0.011 | 0.042 0.017 | 0.040 0.025 | 0.029 0.017 | 0.028 0.013 |



มหาวิทยาลัยสุรินทร์ <http://www.rsu.ac.th>

52/347 หมู่บ้านเมืองเอก ถนนพหลโยธิน หลักหก ปทุมธานี 12000



ตารางที่ 10.3 สัมปlicit สำหรับโมเมนต์บวกในแผ่นพื้นที่ค้ำเฉพาะน้ำหนักรรทุกคงที่เท่ากัน*



| อัตราส่วน $m = \frac{L_s}{L_l}$ | | กรณีที่ 1 | กรณีที่ 2 | กรณีที่ 3 | กรณีที่ 4 | กรณีที่ 5 | กรณีที่ 6 | กรณีที่ 7 | กรณีที่ 8 | กรณีที่ 9 |
|------------------------------------|------------|---------------|---------------|---------------|---------------|---------------|---------------|---------------|---------------|---------------|
| 0.80 | $C_{s,dl}$ | 0.056 | 0.026 | 0.034 | 0.039 | 0.032 | 0.045 | 0.045 | 0.032 | 0.029 |
| | $C_{l,dl}$ | 0.023 | 0.011 | 0.020 | 0.016 | 0.009 | 0.015 | 0.022 | 0.015 | 0.010 |
| 0.75 | $C_{s,dl}$ | 0.061 | 0.028 | 0.040 | 0.043 | 0.033 | 0.048 | 0.051 | 0.036 | 0.031 |
| | $C_{l,dl}$ | 0.019 | 0.009 | 0.018 | 0.013 | 0.007 | 0.012 | 0.020 | 0.013 | 0.007 |
| 0.70 | $C_{s,dl}$ | 0.068 | 0.030 | 0.046 | 0.046 | 0.035 | 0.051 | 0.058 | 0.040 | 0.033 |
| | $C_{l,dl}$ | 0.016 | 0.007 | 0.016 | 0.011 | 0.005 | 0.009 | 0.017 | 0.011 | 0.006 |
| 0.65 | $C_{s,dl}$ | 0.074 | 0.032 | 0.054 | 0.050 | 0.036 | 0.054 | 0.065 | 0.044 | 0.034 |
| | $C_{l,dl}$ | 0.013 | 0.006 | 0.014 | 0.009 | 0.004 | 0.007 | 0.014 | 0.009 | 0.005 |
| 0.60 | $C_{s,dl}$ | 0.081 | 0.034 | 0.062 | 0.053 | 0.037 | 0.056 | 0.073 | 0.048 | 0.036 |
| | $C_{l,dl}$ | 0.010 | 0.004 | 0.011 | 0.007 | 0.003 | 0.006 | 0.012 | 0.007 | 0.004 |
| 0.55 | $C_{s,dl}$ | 0.088 | 0.035 | 0.071 | 0.056 | 0.038 | 0.058 | 0.081 | 0.052 | 0.037 |
| | $C_{l,dl}$ | 0.008 | 0.003 | 0.009 | 0.005 | 0.002 | 0.004 | 0.009 | 0.005 | 0.003 |
| 0.50 | $C_{s,dl}$ | 0.095 | 0.037 | 0.080 | 0.059 | 0.039 | 0.061 | 0.089 | 0.056 | 0.038 |
| | $C_{l,dl}$ | 0.006 | 0.002 | 0.007 | 0.004 | 0.001 | 0.003 | 0.007 | 0.004 | 0.002 |

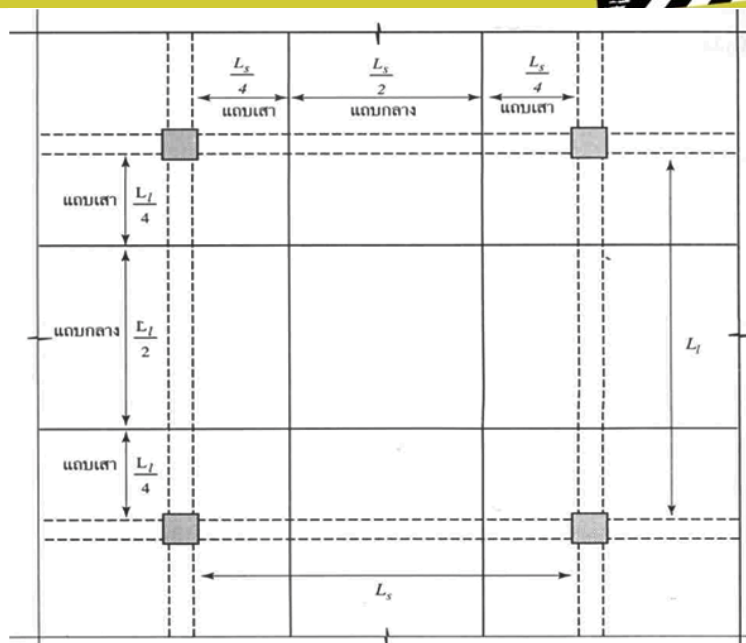


มหาวิทยาลัยราชภัฏสุรินทร์ <http://www.rsu.ac.th>

52/347 หมู่บ้านเมืองเอก ถนนพหลโยธิน หลักหก ปทุมธานี 12000



ตารางที่ 10.3 สัมปlicit สำหรับโมเมนต์บวกในแผ่นพื้นที่ค้ำเฉพาะน้ำหนักรรทุกคงที่เท่ากัน*



มหาวิทยาลัยราชภัฏสุรินทร์ <http://www.rsu.ac.th>

52/347 หมู่บ้านเมืองเอก ถนนพหลโยธิน หลักหก ปทุมธานี 12000



ตาราง 10.4 สัมประสิทธิ์สำหรับโมเมนต์บวกในแผ่นพื้นคดเฉพาะ
น้ำหนักบรรทุก



$$M_{s, pos, ll} = C_{s, ll} \times w \times L_s^2 \quad w = \text{น้ำหนักจรที่แผ่กระจายทั้งหมด}$$

$$M_{l, pos, ll} = C_{l, ll} \times w \times L_l^2$$

| อัตราส่วน $m = \frac{L_s}{L_l}$ | | กรณีที่ 1 | กรณีที่ 2 | กรณีที่ 3 | กรณีที่ 4 | กรณีที่ 5 | กรณีที่ 6 | กรณีที่ 7 | กรณีที่ 8 | กรณีที่ 9 |
|------------------------------------|-------------|---------------|---------------|---------------|---------------|---------------|---------------|---------------|---------------|---------------|
| 1.00 | $C_{s, ll}$ | 0.036 | 0.027 | 0.027 | 0.032 | 0.032 | 0.035 | 0.032 | 0.028 | 0.030 |
| | $C_{l, ll}$ | 0.036 | 0.027 | 0.032 | 0.032 | 0.027 | 0.032 | 0.035 | 0.030 | 0.028 |
| 0.95 | $C_{s, ll}$ | 0.040 | 0.030 | 0.031 | 0.035 | 0.034 | 0.038 | 0.036 | 0.031 | 0.032 |
| | $C_{l, ll}$ | 0.033 | 0.025 | 0.029 | 0.029 | 0.024 | 0.029 | 0.032 | 0.027 | 0.025 |
| 0.90 | $C_{s, ll}$ | 0.045 | 0.034 | 0.035 | 0.039 | 0.037 | 0.042 | 0.040 | 0.035 | 0.036 |
| | $C_{l, ll}$ | 0.029 | 0.022 | 0.027 | 0.026 | 0.021 | 0.025 | 0.029 | 0.024 | 0.022 |
| 0.85 | $C_{s, ll}$ | 0.050 | 0.037 | 0.040 | 0.043 | 0.041 | 0.046 | 0.045 | 0.040 | 0.039 |
| | $C_{l, ll}$ | 0.026 | 0.019 | 0.024 | 0.023 | 0.019 | 0.022 | 0.026 | 0.022 | 0.020 |



มหาวิทยาลัยสุรินทร์ <http://www.rsu.ac.th>

52/347 หมู่บ้านเมืองเอก ถนนพหลโยธิน หลักหก ปทุมธานี 12000



ตาราง 10.4 สัมประสิทธิ์สำหรับโมเมนต์บวกในแผ่นพื้นคดเฉพาะ
น้ำหนักบรรทุก



| อัตราส่วน $m = \frac{L_s}{L_l}$ | | กรณีที่ 1 | กรณีที่ 2 | กรณีที่ 3 | กรณีที่ 4 | กรณีที่ 5 | กรณีที่ 6 | กรณีที่ 7 | กรณีที่ 8 | กรณีที่ 9 |
|------------------------------------|-------------|---------------|---------------|---------------|---------------|---------------|---------------|---------------|---------------|---------------|
| 0.80 | $C_{s, ll}$ | 0.058 | 0.041 | 0.045 | 0.048 | 0.044 | 0.051 | 0.051 | 0.044 | 0.042 |
| | $C_{l, ll}$ | 0.023 | 0.017 | 0.022 | 0.020 | 0.016 | 0.019 | 0.023 | 0.019 | 0.017 |
| 0.75 | $C_{s, ll}$ | 0.061 | 0.045 | 0.051 | 0.052 | 0.047 | 0.055 | 0.056 | 0.049 | 0.046 |
| | $C_{l, ll}$ | 0.019 | 0.014 | 0.019 | 0.016 | 0.013 | 0.016 | 0.020 | 0.016 | 0.013 |
| 0.70 | $C_{s, ll}$ | 0.068 | 0.049 | 0.057 | 0.057 | 0.051 | 0.060 | 0.063 | 0.054 | 0.050 |
| | $C_{l, ll}$ | 0.016 | 0.012 | 0.016 | 0.014 | 0.011 | 0.013 | 0.017 | 0.014 | 0.011 |
| 0.65 | $C_{s, ll}$ | 0.074 | 0.053 | 0.064 | 0.062 | 0.055 | 0.064 | 0.070 | 0.059 | 0.054 |
| | $C_{l, ll}$ | 0.013 | 0.010 | 0.014 | 0.011 | 0.009 | 0.010 | 0.014 | 0.011 | 0.009 |
| 0.60 | $C_{s, ll}$ | 0.081 | 0.058 | 0.071 | 0.067 | 0.059 | 0.068 | 0.077 | 0.065 | 0.059 |
| | $C_{l, ll}$ | 0.010 | 0.007 | 0.011 | 0.009 | 0.007 | 0.008 | 0.011 | 0.009 | 0.007 |
| 0.55 | $C_{s, ll}$ | 0.088 | 0.062 | 0.080 | 0.072 | 0.063 | 0.073 | 0.085 | 0.070 | 0.063 |
| | $C_{l, ll}$ | 0.008 | 0.006 | 0.009 | 0.007 | 0.005 | 0.006 | 0.009 | 0.007 | 0.006 |
| 0.50 | $C_{s, ll}$ | 0.095 | 0.066 | 0.088 | 0.077 | 0.067 | 0.078 | 0.092 | 0.076 | 0.067 |
| | $C_{l, ll}$ | 0.006 | 0.004 | 0.007 | 0.005 | 0.004 | 0.005 | 0.007 | 0.005 | 0.004 |



มหาวิทยาลัยสุรินทร์ <http://www.rsu.ac.th>

52/347 หมู่บ้านเมืองเอก ถนนพหลโยธิน หลักหก ปทุมธานี 12000



10.4.2 การโก่งตัวของแผ่นพื้นที่สองทาง



ในการออกแบบแผ่นพื้นที่จะต้องมีการคำนวณการโก่งตัวของแผ่นพื้นที่เพื่อตรวจสอบไม่ให้เกินค่าการโก่งตัวที่ยอมให้ ระยะทางโก่งตัวสูงสุดที่ยอมให้ตามมาตรฐานสำหรับอาคารคอนกรีตอัดแรงของ ว.ส.ท. ปี 2537

การออกแบบแผ่นพื้นที่คอนกรีตอัดแรงในทางปฏิบัติ อาจออกแบบให้แรงพยุ่งเนื่องจากเหล็กเสริมอัดแรงพอดีเท่ากับน้ำหนักบรรทุกคงที่ทั้งหมด ดังนั้นขณะที่ยังไม่มีน้ำหนักบรรทุกจรมาก พื้นที่ที่เกิดการโก่งตัวเนื่องจากน้ำหนักบรรทุกจร



มหาวิทยาลัยสุรินทร์ <http://www.rsu.ac.th>

52/347 หมู่บ้านเมืองเอก ถนนพหลโยธิน หลักหก ปทุมธานี 12000



แผนภาพโมเมนต์สำหรับการคำนวณค่าการโก่งตัวของแผ่นพื้นที่สองทาง



ในคานที่มีปลายยึดแน่นทั้งสองข้าง ค่าโมเมนต์ที่เกิดขึ้นที่ปลายยึด (fixed end moment) มีค่าเท่ากับ $\frac{1}{12}wL^2$ ถ้าให้ M_o คือ โมเมนต์ที่เกิดจากผลรวมของโมเมนต์ลบและโมเมนต์บวก ซึ่ง M_o มีค่าเท่ากับ $\frac{1}{8}wL^2$ ดังนั้นโมเมนต์บวกที่เกิดขึ้นที่กึ่งกลางคานจะมีค่าเท่ากับ $\frac{1}{8}wL^2 - \frac{1}{12}wL^2 = \frac{1}{24}wL^2$ ดังนั้นในกรณีของปลายยึดแน่นโมเมนต์ที่กึ่งกลางคานมีค่าเท่ากับ $\frac{1}{3}M_o$ และโมเมนต์ที่ปลายยึดแน่นมีค่าเท่ากับ $\frac{2}{3}M_o$ แต่สำหรับกรณีของพื้นที่ซึ่งมีที่รองรับที่ปลายพื้นที่นั้น การยึดแน่นจะไม่ยึดแน่นอย่างเต็มที่ ในสมมติฐานที่ใช้ในการคำนวณค่าการโก่งตัวของพื้นที่ให้ปลายยึดเพียง 50% เท่านั้น ดังนั้นโมเมนต์ลบที่ปลายแผ่นพื้นที่จึงมีค่าลดลงจาก $\frac{2}{3}M_o$ เหลือเพียง $\frac{1}{3}M_o$ และโมเมนต์บวกที่กึ่งกลางคานจึงมีค่าเพิ่มขึ้นเป็น $M_o - \frac{1}{3}M_o = \frac{2}{3}M_o$

ค่า $M_{l,pos}$ และ $M_{s,pos}$ หาได้จากตารางที่ 10.4 และสามารถหาค่าการโก่งตัว Δ ได้โดยใช้ทฤษฎีอัสติค เช่น ทฤษฎีพื้นที่โมเมนต์ (moment-area theorem) ซึ่งหาค่า Δ ได้จาก

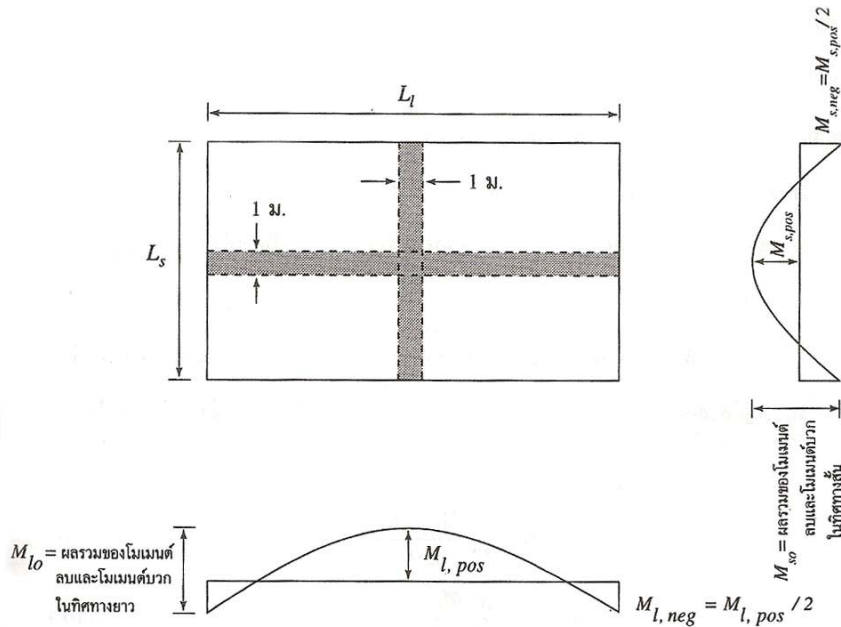


มหาวิทยาลัยสุรินทร์ <http://www.rsu.ac.th>

52/347 หมู่บ้านเมืองเอก ถนนพหลโยธิน หลักหก ปทุมธานี 12000



แผนภาพโมเมนต์สำหรับการคำนวณค่าการโก่งตัวของ แผ่นพื้นสองทาง



แผนภาพโมเมนต์สำหรับการคำนวณค่าการโก่งตัวของ แผ่นพื้นสองทาง



$$\Delta_s = \frac{3}{32} \frac{M_{s, pos} L_s^2}{E_c I_c} \quad (10.9)$$

$$\Delta_l = \frac{3}{32} \frac{M_{l, pos} L_l^2}{E_c I_c} \quad (10.10)$$

- โดยที่ Δ_s, Δ_l คือ การโก่งตัวที่กึ่งกลางช่วงพื้นในทิศทางสั้นและยาวตามลำดับ
- $M_{s, pos}, M_{l, pos}$ คือ โมเมนต์บวกที่กึ่งกลางช่วงพื้นเนื่องจากน้ำหนักบรรทุกจรในทิศทางสั้นและยาวตามลำดับ สามารถหาได้จากตารางที่ 10.4
- L_s, L_l คือ ความยาวของช่วงพื้นในทิศทางสั้นและยาวตามลำดับ
- E_c, I_c คือ โมดูลัสยืดหยุ่นของคอนกรีต และโมเมนต์อินเนอร์เซียของหน้าตัดคอนกรีตที่มีความกว้าง 1 เมตร ตามลำดับ



พื้นไร้คานเรียบ



10.4.3 โมเมนต์ดัดประลัยของแผ่นพื้นสองทาง

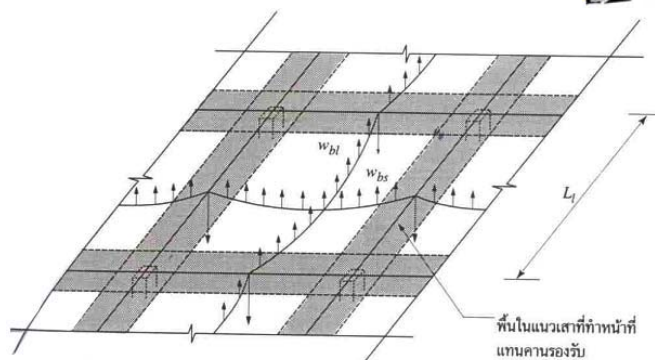
หลังจากออกแบบความหนาของพื้น ปริมาณเหล็กเสริมอัดแรงและแนวเหล็กเสริมอัดแรงในช่วงใช้งานแล้ว จะต้องมีการตรวจสอบกำลังประลัยของหน้าตัดด้วยโดยที่กำลังในการออกแบบ ϕM_n ต้องมีค่ามากกว่ากำลังที่ต้องการ M_u

$$\phi M_n \geq M_u \quad (10.11)$$

- โดยที่ ϕ คือ ตัวคูณลดกำลัง สำหรับโมเมนต์ดัดมีค่าเท่ากับ 0.9
- M_n คือ โมเมนต์ดัดประลัยระยะของหน้าตัด
- M_u คือ โมเมนต์ที่ต้องการซึ่งมีค่าเท่ากับผลรวมของโมเมนต์เพิ่มส่วนและโมเมนต์รอง
- $$= 1.4M_D + 1.7M_L + M_{sec}$$



พื้นไร้คานเรียบ



$$w_b = w_{bs} + w_{bl} \quad (10.12)$$

$$w_b L_s L_l = w_{bs} L_s L_l + w_{bl} L_s L_l \quad (10.13)$$

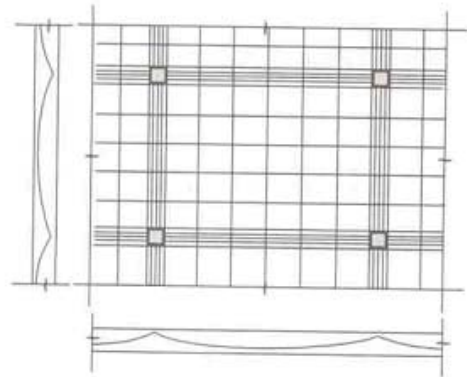
$$w_{bs} L_s L_l + w_{bl} L_s L_l = w_b L_s L_l \quad (10.14)$$



รูปแบบการจัดแนวเหล็กเสริมอัดแรงในแผ่นพื้นไร้คานทอเรียบ



(ก) การจัดเหล็กเสริมอัดแรงกระจายในทิศทางเดียว



(ข) การจัดเหล็กเสริมอัดแรงกระจายในสองทิศทาง

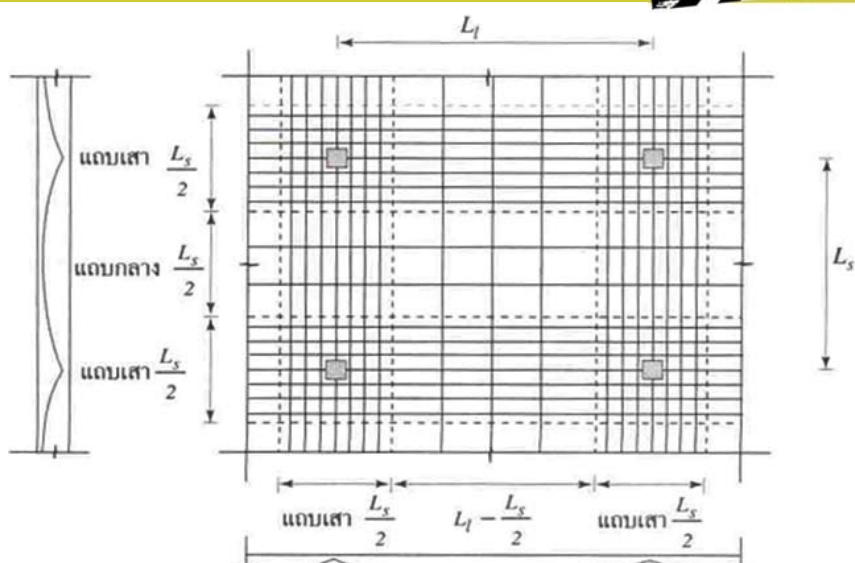


มหาวิทยาลัยสุรินทร์ <http://www.rsu.ac.th>
52/347 หมู่บ้านเมืองเอก ถนนพหลโยธิน หลักหก ปทุมธานี 12000



รูปแบบการจัดแนวเหล็กเสริมอัดแรงในแผ่นพื้นไร้คานทอเรียบ

คานทอเรียบ



(ค) การจัดเหล็กเสริมอัดแรงแบ่งเป็นแถบกลางและแถบเสา



มหาวิทยาลัยสุรินทร์ <http://www.rsu.ac.th>
52/347 หมู่บ้านเมืองเอก ถนนพหลโยธิน หลักหก ปทุมธานี 12000



10.5.1 การกระจายของโมเมนต์ในพื้นไร้คาน



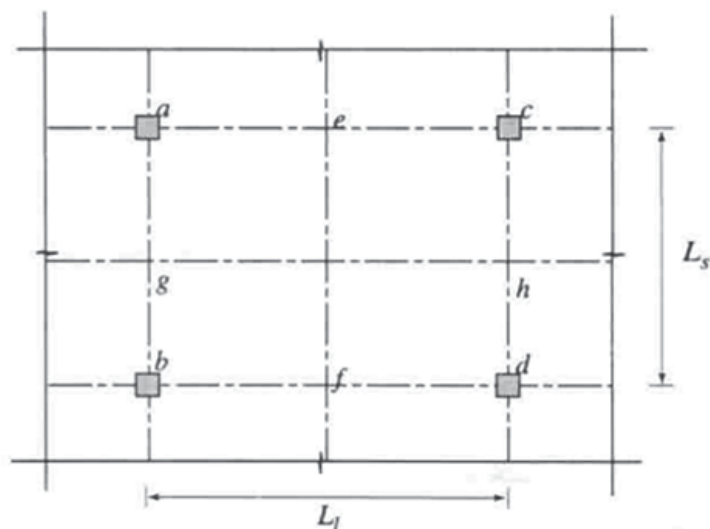
ถ้าน้ำหนักบรรทุกที่กระทำต่อพื้นที่ค่าเท่ากับแรงพยุ่งที่เกิดจากแนวเหล็กเสริมอัดแรงการ โกงตัวของแผ่นพื้นก็จะไม่เกิดขึ้นและจะไม่เกิดโมเมนต์ในพื้น หน่วยแรงในคอนกรีตที่ทำหน้าตัดต่างๆจะเป็นหน่วยแรงอัดสม่ำเสมอ เมื่อเพิ่มน้ำหนักบรรทุกมากขึ้นแผ่นพื้นจะเริ่มเกิดการ โกงตัว และ โมเมนต์จะเกิดขึ้นบนแผ่นพื้นตำแหน่งต่างๆ การคำนวณโมเมนต์เนื่องจากผลต่างของน้ำหนักบรรทุกและเหล็กเสริมอัดแรง



มหาวิทยาลัยราชภัฏสุรินทร์ <http://www.rsu.ac.th>
52/347 หมู่บ้านเมืองเอก ถนนพหลโยธิน หลักหก ปทุมธานี 12000



การกระจายของโมเมนต์ในแผ่นพื้นไร้คาน



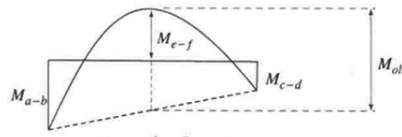
(ก) แผ่นพื้นไร้คานภายใน



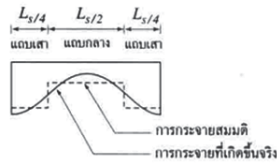
มหาวิทยาลัยราชภัฏสุรินทร์ <http://www.rsu.ac.th>
52/347 หมู่บ้านเมืองเอก ถนนพหลโยธิน หลักหก ปทุมธานี 12000



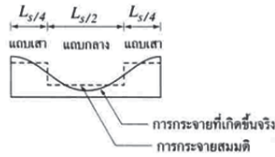
การกระจายของโมเมนต์ในแผ่นพื้นไร้คาน



(ข) โมเมนต์ที่เกิดขึ้นตามทิศทาง L_l



(ค) การกระจายของ M_{a-b} ในทิศทาง L_s



(ง) การกระจายของ M_{e-f} ในทิศทาง L_s

$$\frac{1}{2}(M_{a-b} + M_{c-d}) + M_{e-f} = M_{ol} = \frac{1}{8}wL_sL_l^2 \quad (10.15)$$

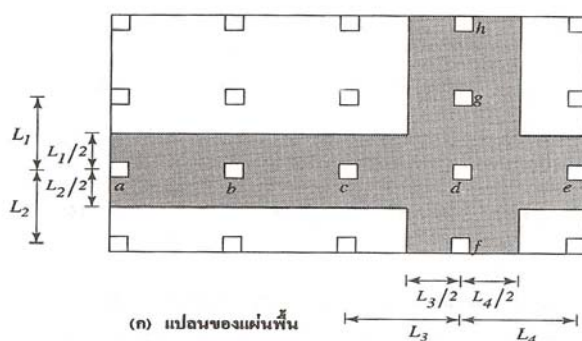
$$\frac{1}{2}(M_{a-c} + M_{b-d}) + M_{g-h} = M_{os} = \frac{1}{8}wL_lL_s^2 \quad (10.16)$$



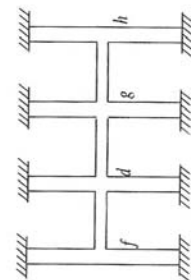
มหาวิทยาลัยสุรินทร์ <http://www.rsu.ac.th>
52/347 หมู่บ้านเมืองเอก ถนนพหลโยธิน หลักหก ปทุมธานี 12000



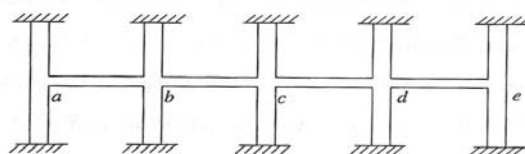
การใช้วิธีโครงสร้างเทียบเท่าสำหรับวิเคราะห์โมเมนต์ในแผ่นพื้นที่ไร้คาน



(ก) แปลนของแผ่นพื้น



(ค) โครงสร้างเทียบเท่า fgh



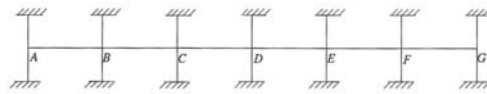
(ข) โครงสร้างเทียบเท่า abcde



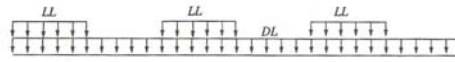
มหาวิทยาลัยสุรินทร์ <http://www.rsu.ac.th>
52/347 หมู่บ้านเมืองเอก ถนนพหลโยธิน หลักหก ปทุมธานี 12000



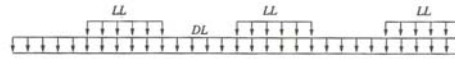
การใช้วิธีโครงสร้างเทียบเท่าสำหรับวิเคราะห์โมเมนต์ในแผ่นพื้นที่ไร้คาน



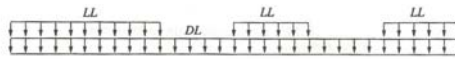
(ก) โครงสร้างต่อเนื่อง ABCDEFG



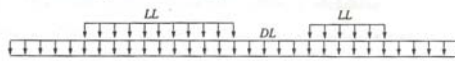
(ข) การขั้หน้าทับบรรทุกทำให้เกิดโมเมนต์บวกสูงสุดในช่วง AB, CD และ EF



(ค) การขั้หน้าทับบรรทุกทำให้เกิดโมเมนต์บวกสูงสุดในช่วง BC, DE และ FG



(ง) การขั้หน้าทับบรรทุกทำให้เกิดโมเมนต์ลบสุดที่ B



(จ) การขั้หน้าทับบรรทุกทำให้เกิดโมเมนต์ลบสุดที่ C

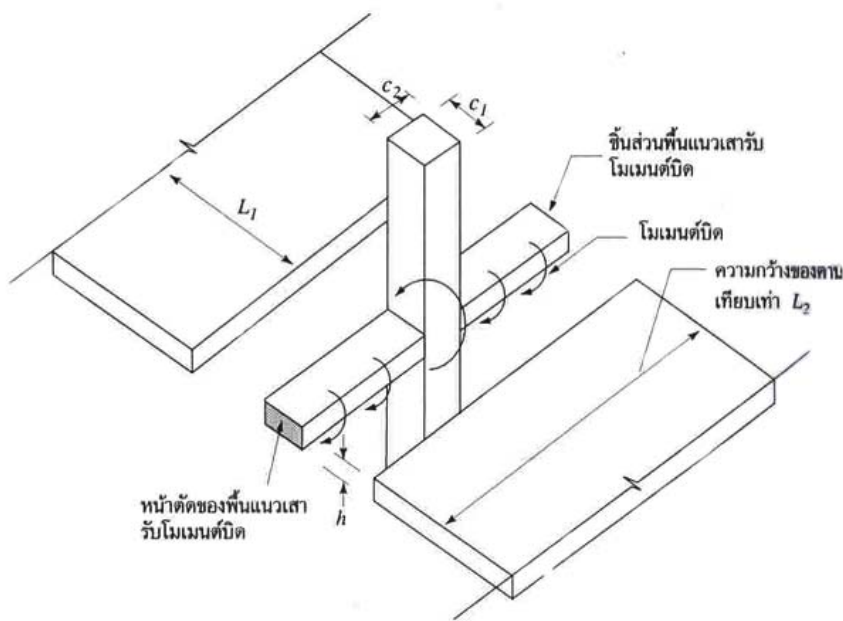
รูปที่ 10.11 ตัวอย่างการขั้หน้าทับบรรทุกเพื่อให้เกิดโมเมนต์สูงสุด



มหาวิทยาลัยราชภัฏสุรินทร์ <http://www.rsu.ac.th>
52/347 หมู่บ้านเมืองเอก ถนนพหลโยธิน หลักหก ปทุมธานี 12000



ส่วนประกอบโครงสร้างเทียบเท่า



มหาวิทยาลัยราชภัฏสุรินทร์ <http://www.rsu.ac.th>
52/347 หมู่บ้านเมืองเอก ถนนพหลโยธิน หลักหก ปทุมธานี 12000



ส่วนประกอบโครงสร้างเทียบเท่า



$$\frac{I}{K_{ec}} = \frac{I}{\sum K_c} + \frac{I}{K_t} \quad (10.17)$$

โดยที่ K_{ec} คือ สติฟเนสการดัดของเสาเทียบเท่า

$\sum K_c$ คือ ผลรวมของสติฟเนสการดัดของเสาส่วนบนและเสาส่วนล่าง มาตรฐาน ACI กำหนดให้ใช้สติฟเนสการดัดของเสา $K_c = \frac{4EI}{L-2h}$ โดยที่ L คือ ระยะระหว่างชั้นถึงชั้นที่พิจารณาและ h คือความหนาของพื้น

K_t คือ สติฟเนสต้านการบิดของแผ่นพื้นแนวเสาในทิศตั้งฉากโดยหาจากสมการที่ 10.18



มหาวิทยาลัยร้อยสี่ <http://www.rsu.ac.th>

52/347 หมู่บ้านเมืองเอก ถนนพหลโยธิน หลักหก ปทุมธานี 12000



ส่วนประกอบโครงสร้างเทียบเท่า



$$K_t = \sum \frac{9E_c C}{L_2 \left(1 - \frac{c_2}{L_2}\right)^3} \quad (10.18)$$

โดยที่ C คือ ค่าคงที่ของหน้าตัดสำหรับการบิด หาได้จากสมการที่ 10.19

L_2 คือ ความกว้างของคานเทียบเท่า

c_2 คือ ความกว้างของเสาในทิศทางเดียวกับ L_2

\sum ในสมการที่ 10.18 หมายถึง ผลรวมของกรณีที่มีแผ่นพื้น 2 แผ่นในทิศทางที่พิจารณา

$$C = \left(1 - 0.63 \frac{x}{y}\right) \frac{x^3 y}{3} \quad (10.19)$$

โดยที่ x คือ ด้านสั้นของหน้าตัดของพื้นแนวเสารับโมเมนต์บิด (เท่ากับ h)

y คือ ด้านยาวของหน้าตัดของพื้นแนวเสารับโมเมนต์บิด (เท่ากับ c_1)



มหาวิทยาลัยร้อยสี่ <http://www.rsu.ac.th>

52/347 หมู่บ้านเมืองเอก ถนนพหลโยธิน หลักหก ปทุมธานี 12000



ส่วนประกอบโครงสร้างเทียบเท่า



สำหรับค่าสติเฟนของคานเทียบเท่า K_{es} มาตรฐาน ACI ได้กำหนดให้ใช้เท่ากับ

$$K_{es} = \frac{4EI}{L_1 - c_1/2} \quad (10.20)$$

โดยที่ L_1 คือ ระยะความยาวช่วงของคานเทียบเท่าโดยวัดจากกึ่งกลางเสา

c_1 คือ ความกว้างของเสาในทิศทางเดียวกับ L_1



มหาวิทยาลัยราชภัฏสุรินทร์ <http://www.rsu.ac.th>
52/347 หมู่บ้านเมืองเอก ถนนพหลโยธิน หลักหก ปทุมธานี 12000



ส่วนประกอบโครงสร้างเทียบเท่า



พื้นที่ช่วงเดียว : 55-60% ให้แบ่งแก่แถบเสา ที่เหลือให้แบ่งแก่แถบกลาง

พื้นที่ต่อเนื่อง : 65-75% ให้แบ่งแก่แถบเสา ที่เหลือให้แบ่งแก่แถบกลาง



มหาวิทยาลัยราชภัฏสุรินทร์ <http://www.rsu.ac.th>
52/347 หมู่บ้านเมืองเอก ถนนพหลโยธิน หลักหก ปทุมธานี 12000



ส่วนประกอบโครงสร้างเทียบเท่า



มาตรฐาน ACI กำหนดหน่วยแรงที่ยอมให้ของคอนกรีตอัดแรงขณะใช้งานสำหรับ

แผ่นพื้นไรคาน แตกต่างไปจากโครงสร้างอื่นดังต่อไปนี้

สำหรับหน่วยแรงอัดในคอนกรีต

- หน่วยแรงอัดในคอนกรีตบริเวณโมเมนต์ลบที่หัวเสา $0.30f'_c$
- บริเวณอื่น ๆ ที่ไม่ใช่บริเวณหัวเสา $0.45f'_c$

สำหรับหน่วยแรงดึงในคอนกรีต

- หน่วยแรงดึงในคอนกรีตบริเวณโมเมนต์บวกที่ไม่มีเหล็กเสริม
ธรรมดาใด ๆ เสริมอยู่ $0.53\sqrt{f'_c}$
- หน่วยแรงดึงในคอนกรีตบริเวณโมเมนต์บวกที่มีเหล็กเสริม
ธรรมดาเสริมอยู่ $1.6\sqrt{f'_c}$
- หน่วยแรงดึงในคอนกรีตบริเวณโมเมนต์ลบที่ไม่มีเหล็กเสริม
ธรรมดาใด ๆ เสริมอยู่ 0
- หน่วยแรงดึงในคอนกรีตบริเวณโมเมนต์ลบที่มีเหล็กเสริม
ธรรมดาใด ๆ เสริมอยู่ $1.6\sqrt{f'_c}$



มหาวิทยาลัยราชภัฏ <http://www.rsu.ac.th>

52/347 หมู่บ้านเมืองเอก ถนนพหลโยธิน หลักหก ปทุมธานี 12000



10.5.3 โมเมนต์ปละลี่ยของแผ่นพื้นไรคานทอ้งเรียบ



การตรวจสอบกำลังตัดประลัยในแผ่นพื้นไรคานเหมือนกันกับแผ่นพื้นสองทางกำลังต้านภายใน โมเมนต์ตัดภายในหน้าตัด ต้องมีค่ามากกว่ากำลังต้านทานที่ต้องการ โมเมนต์ เนื่องจากกำลังบรรทุกงที่ และ โมเมนต์รองสามารถหาได้จากการคำนวณ โมเมนต์สุทธิเนื่องจากการแรงอัด ซึ่งได้มาจากวิธี โครงสร้างเทียบเท่าและหลักการแรงพยุง จากนั้นหัก โมเมนต์สุทธิที่คำนวณออกด้วย โมเมนต์หลักก็จะได้ค่า โมเมนต์รอง



มหาวิทยาลัยราชภัฏ <http://www.rsu.ac.th>

52/347 หมู่บ้านเมืองเอก ถนนพหลโยธิน หลักหก ปทุมธานี 12000



10.5.4 แรงเฉือนในแผ่นพื้นโรคนาท้องเรียบ



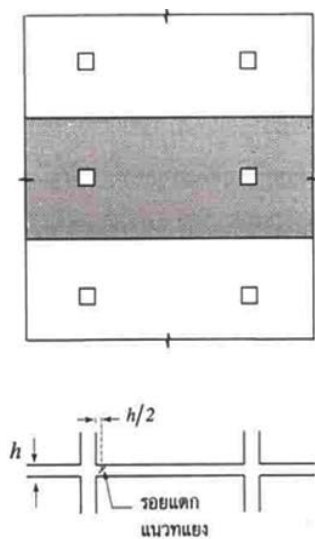
ในการออกแบบแผ่นพื้นโรคนาท้องเรียบอาจพบว่าหลายครั้งผลของแรงเฉือนมีความสำคัญต่อการออกแบบ นำหนักบรรทุกทุกแผ่นพื้นที่โรคนานจะถ่ายจากพื้น ไปสู่เสาโดยตรงทำให้เกิดหน่วยแรงเฉือนที่สูงมาก บริเวณหัวเสาแรงเฉือนที่ต้องการตรวจสอบคือ

ก) แรงเฉือนแบบคานกว้าง

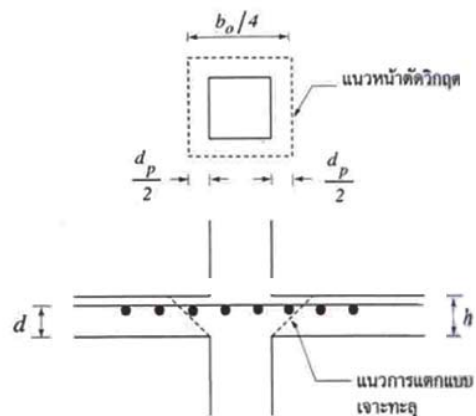
ข) แรงเฉือนเจาะทะลุ



การแตกร้าวเนื่องจากแรงเฉือนแบบต่างๆ



(ก) การแตกร้าวเนื่องจากแรงเฉือนแบบคานกว้าง



(ข) การแตกร้าวเนื่องจากแรงเฉือนแบบเจาะทะลุ



การแตกร้าวนื่องจากแรงเฉือนแบบต่างๆ



$$V_c = (0.93\sqrt{f'_c} + 0.3f_{pc})b_o d_p + V_p \quad (10.22)$$

- โดยที่ b_o คือ เส้นรอบรูปของหน้าตัดวิกฤต
- f_{pc} คือ ค่าเฉลี่ยของหน่วยแรงอัดที่ศูนย์กลางหน้าตัดคอนกรีตทั้งสองทิศทาง
- V_p คือ แรงประกอบย่อยในแนวตั้งของแรงอัดประสิทธิผลของเหล็กเสริมอัดแรงที่ผ่านเส้นรอบรูปหน้าตัดวิกฤต (V_p อาจใช้ค่าเท่ากับศูนย์ได้เนื่องจากแผ่นพื้นมีความหนาน้อย มุมเอียงของเหล็กเสริมอัดแรงจึงมีค่าน้อย)



การแตกร้าวนื่องจากแรงเฉือนแบบต่างๆ



สมการที่ 10.22 จะใช้ได้ก็ต่อเมื่อ

1. ไม่มีหน้าตัดเสาส่วนใดอยู่ใกล้ขอบพื้นที่ไม่ต่อเนื่องเกินกว่า 4h
2. กำลังอัดประลัยของคอนกรีตต้องมีค่าไม่เกิน 350 กก./ชม.²
3. หน่วยแรงอัดที่ศูนย์กลางของหน้าตัด f_{pc} ในแต่ละทิศทางต้องมีค่าไม่น้อยกว่า 8.8 กก./ชม.² และต้องมีค่าไม่มากกว่า 35 กก./ชม.²

ถ้าไม่เป็นไปตามเงื่อนไขที่กล่าวมาข้างต้นนี้ ให้ใช้สมการของ V_c สำหรับแรงเฉือนแบบเจาะทะลุจากสมการที่ 10.23

$$V_c = 0.53(1 + 2/\beta_c)\sqrt{f'_c}b_o d_p \leq 1.06\sqrt{f'_c}b_o d_p \quad (10.23)$$

- โดยที่ β_c คือ อัตราส่วนของด้านยาวต่อด้านสั้นของเสา
- b_o คือ เส้นรอบรูปของแนวหน้าตัดวิกฤต



10.5.5 พฤติกรรมการถ่ายโมเมนต์จากแผ่นพื้นไร้คานลงสู่เสา

การตรวจสอบนี้หน่วยแรงเฉือนแบบเจาะทะลุ จะสมมติว่าหน่วยแรงเฉือนบริเวณหน้าตัดวิกฤตที่ห่างจากเสาทั้งสองด้านเป็นหน่วยแรงเฉือนสม่ำเสมอแต่ในกรณีที่ต้องมีการถ่ายโมเมนต์จำนวนพอสมควรจากพื้นลงสู่เสา จะพบว่าหน่วยแรงเฉือนที่เกิดขึ้นที่หน้าตัดรอบเสาไม่เท่ากัน โดยตลอด

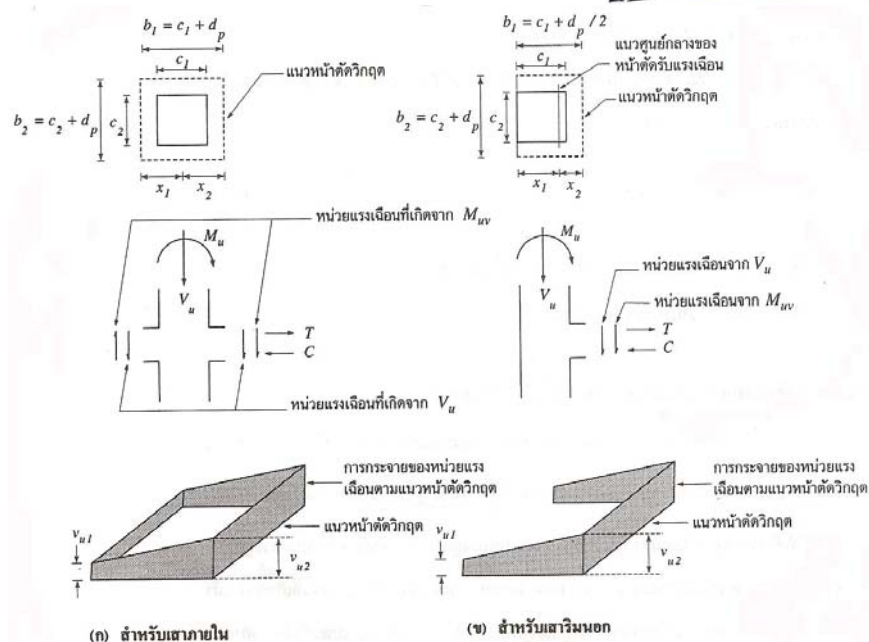


มหาวิทยาลัยราชภัฏสุรินทร์ <http://www.rsu.ac.th>

52/347 หมู่บ้านเมืองเอก ถนนพหลโยธิน หลักหก ปทุมธานี 12000



แรงเฉือนที่เกิดขึ้นเนื่องจากการถ่ายแรงเฉือนและโมเมนต์จากพื้นไร้คานลงสู่เสา



มหาวิทยาลัยราชภัฏสุรินทร์ <http://www.rsu.ac.th>

52/347 หมู่บ้านเมืองเอก ถนนพหลโยธิน หลักหก ปทุมธานี 12000



แรงเฉือนที่เกิดขึ้นเนื่องจากการถ่ายแรงเฉือนและโมเมนต์จากพื้น
โรรานลงสู่เสา



$$v_{u1} = \frac{V_u - M_{uv}x_1}{A_c} \quad (10.24)$$

$$v_{u2} = \frac{V_u + M_{uv}x_2}{A_c} \quad (10.25)$$

โดยที่ A_c คือ พื้นที่ของหน้าตัดวิกฤตรับแรงเฉือน มีค่าเท่ากับ $(2b_1 + b_2)d_p$ สำหรับเสาภายในและมีค่าเท่ากับ $(2b_1 + b_2)d_p$ สำหรับเสาริมนอก

x_1, x_2 คือ ระยะห่างจากจุดศูนย์กลางของพื้นที่หน้าตัดรับแรงเฉือนถึงตำแหน่งที่พิจารณา

J_c คือ โพลาร์โมเมนต์อินเนอร์เซีย (polar moment of inertia) ของหน้าตัดวิกฤต

โดยที่ J_c หาได้จาก

สำหรับเสาภายใน
$$J_c = \frac{b_1^3 d_p}{6} + \frac{b_1 d_p^3}{6} + \frac{b_2 b_1^2 d_p}{2} \quad (10.26)$$

สำหรับเสาริมนอก
$$J_c = \frac{b_1 d_p^3}{6} + \frac{2}{3}(x_1^3 + x_2^3)d_p + b_2 x_2^2 d_p \quad (10.27)$$



แรงเฉือนที่เกิดขึ้นเนื่องจากการถ่ายแรงเฉือนและโมเมนต์จากพื้น
โรรานลงสู่เสา



M_{uv} ในสมการที่ 10.24 และ 10.25 เป็นโมเมนต์ที่ถ่ายผ่านโมเมนต์ของแรงเฉือน มีค่าเท่ากับผลต่างของโมเมนต์ทั้งหมดที่ถ่ายจากพื้นสู่เสา M_u กับโมเมนต์ที่ถ่ายผ่านลักษณะโมเมนต์คัต M_{ub}

$$M_{uv} = M_u - M_{ub} \quad (10.28)$$

โดยที่
$$M_{ub} = \frac{M_u}{1 + \frac{2}{3} \sqrt{\frac{b_1}{b_2}}} \quad (10.29)$$



แรงเฉือนที่เกิดขึ้นเนื่องจากการถ่ายแรงเฉือนและโมเมนต์จากพื้น โรคานลงสู่เสา

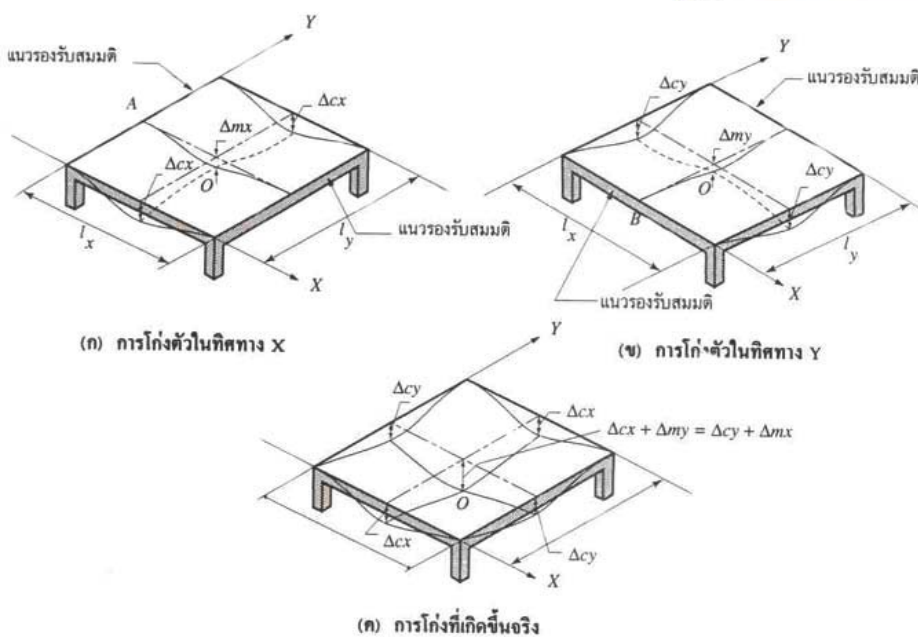


$$v_c = 0.93\sqrt{f'_c} + 0.3f_{pc} \quad (10.30)$$

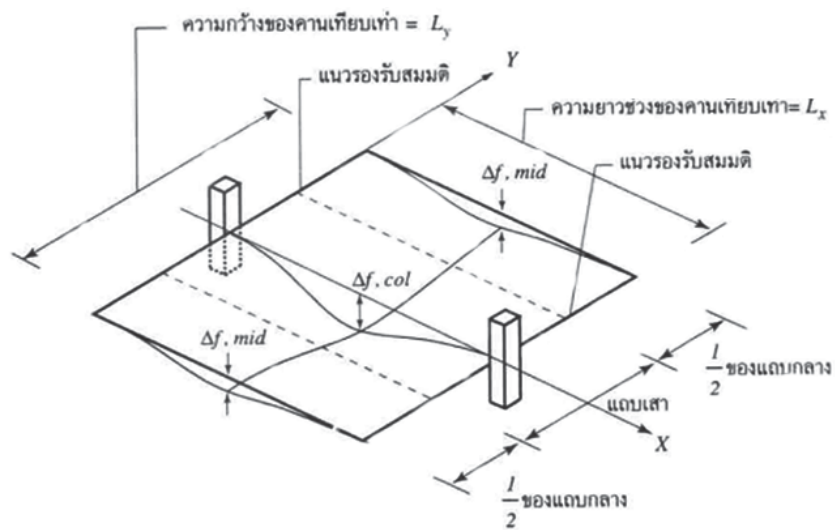
$$v_c = 0.53(1 + 2/\beta_c)\sqrt{f'_c} \leq 1.06\sqrt{f'_c} \quad (10.31)$$



10.5.6 การโค้งตัวของแผ่นพื้นโรคานทอ้งเรียบ



การโก่งตัวของคานเทียบเท่าในทิศทาง X



การโก่งตัวของคานเทียบเท่าในทิศทาง X



ถ้าสมมติว่าที่รองรับสมมติเป็นปลายยึดแน่น การโก่งตัวที่กึ่งกลางคานเทียบเท่า Δ_f

หาได้จาก

$$\Delta_f = \frac{wL_x^4}{384E_c I_{panel}} \quad (10.33)$$

โดยที่ w คือ น้ำหนักบรรทุกต่อความยาว 1 เมตร ของช่วงความยาว L_x

I_{panel} คือ โมเมนต์อินเนอร์เซียของคานเทียบเท่า ซึ่งมีความกว้างเท่ากับ L_y



การโก่งตัวของคานเทียบเท่าในทิศทาง X



$$\Delta_{f,col} = \Delta_f \times \left(\frac{M_{col}}{E_c I_{col}} \bigg/ \frac{M_{panel}}{E_c I_{panel}} \right) \quad (10.34)$$

$$\Delta_{f,mid} = \Delta_f \times \left(\frac{M_{mid}}{E_c I_{mid}} \bigg/ \frac{M_{panel}}{E_c I_{panel}} \right) \quad (10.35)$$

โดยที่ $M_{panel}, M_{col}, M_{mid}$ คือ โมเมนต์ของคานเทียบเท่า ของแถบเสา และของแถบกลางตามลำดับ

$I_{panel}, I_{col}, I_{mid}$ คือ โมเมนต์อินเนอร์เซียของคานเทียบเท่า ของแถบเสา และของแถบกลางตามลำดับ



มหาวิทยาลัยราชภัฏสุรินทร์ <http://www.rsu.ac.th>

52/347 หมู่บ้านเมืองเอก ถนนพหลโยธิน หลักหก ปทุมธานี 12000



การโก่งตัวของคานเทียบเท่าในทิศทาง X



$$\Delta_{col} = \Delta_{f,col} + \Delta_{\theta 1} + \Delta_{\theta 2} \quad (10.36)$$

$$\Delta_{mid} = \Delta_{f,mid} + \Delta_{\theta 1} + \Delta_{\theta 2} \quad (10.37)$$

โดยที่ $\Delta_{\theta 1}, \Delta_{\theta 2}$ คือ การโก่งตัวที่กึ่งกลางพื้นอันเนื่องมาจากมุมบิดของแนวรองรับแต่ละข้าง โดยหาได้จากสมการที่ 10.38

$$\Delta_{\theta} = \frac{M_{net} \cdot L}{8K_{ec}} \quad (10.38)$$

โดยที่ M_{net} คือ ผลต่างของโมเมนต์ในพื้นที่ทั้งสองข้างของเสา ในทิศทางที่พิจารณา

L คือ ความยาวช่วงของคานเทียบเท่า ในทิศทางที่พิจารณา

K_{ec} คือ สติฟเนสของเสาเทียบเท่า สามารถหาได้จากสมการที่ 10.17



มหาวิทยาลัยราชภัฏสุรินทร์ <http://www.rsu.ac.th>

52/347 หมู่บ้านเมืองเอก ถนนพหลโยธิน หลักหก ปทุมธานี 12000

